

# 高温での CO<sub>2</sub> との反応によるコークス 強度劣化

論文

西 徹\*・原口 博\*・奥原 捷晃\*

Deterioration of Coke Strength by CO<sub>2</sub> Gasification at High Temperature

Tetsu NISHI, Hiroshi HARAGUCHI and Toshiaki OKUHARA

## Synopsis :

The deterioration of coke in the blast furnace has been evaluated as the change in coke size due to reaction between coke and CO<sub>2</sub> gas. To clarify the deterioration mechanism, a series of experiment has been carried out at each reaction temperature using apparatus for high temperature CO<sub>2</sub> reaction.

The findings obtained are as follows :

(1) The deterioration of coke by CO<sub>2</sub> gasification reaction was largely changed with the temperature for CO<sub>2</sub> reaction.

(2) Reaction up to 1300°C : Due to the selective reaction by the anisotropic texture of coke, reaction proceeded to the central core of the lump and weight loss affected the decrease of coke strength.

(3) Reaction between 1300°C and 1500°C : Coke lump reacted uniformly on its surface, thereby holding very low reaction rate in the core of the coke lump. Weight loss did not affect the decrease of coke strength.

(4) As CO<sub>2</sub> reaction below 1300°C decreased remarkably the coke strength, if weight loss caused by the reaction lower than 1300°C could be decreased, this countermeasure would become an important method for the control of coke deterioration.

(5) A good quality coke at high temperature showed uniform microstructure and high reactivity with CO<sub>2</sub> gas at pore-wall.

**Key words :** coking; ironmaking; coke; reaction; microscopy; strength after reaction.

## 1. 緒 言

高炉の解体調査以降、コークスの熱間性状が重要視されはじめた。高炉内高温部におけるコークスの性状については、主に CO<sub>2</sub> との反応性<sup>1)~3)</sup>について検討されている。しかし、実用上は高炉高温部における通気・通液性の面から、高炉下部における粒度維持が重要である。これに関する研究としては、原ら<sup>4)</sup>、羽田野ら<sup>5)</sup>、館ら<sup>6)</sup>、ARENNDT ら<sup>7)</sup>、重野ら<sup>8)</sup>、上条ら<sup>9)</sup>および岩永ら<sup>10)</sup>の研究がある。

原らは、燃焼粉化装置を用い、1100~1200°C でのコークスの反応を論じ、コークスのような多孔固体における気・固反応をモデル化し、この反応の進行は、コークスのマクロ構造ならびに組織の CO<sub>2</sub> との反応選択性に關係しており、これらの特性値との関連の解明の研究が必要であると述べている。羽田野らは、ソリューション・ロスによるコークスの粒径変化をコークスと CO<sub>2</sub> との

反応による基礎研究と高炉炉内のガス濃度分布より炉内におけるガス化反応量を推定し、これをもとにコークスの粒径変化を検討している。館らの研究は、コークスの種類をかえ 1400~1500°C での反応量と反応後強度との関係を検討している。また、ARENNDT らの研究は、1050°C での CO<sub>2</sub> 反応によるコークスの強度変化を、重野らの研究は、1100°C での反応後摩耗強度を、上条らの研究は、1050~1100°C での CO<sub>2</sub> 反応によるコークス塊内反応率分布と反応後の引張強度との関係を、岩永らの研究は、1100°C での CO<sub>2</sub> 反応衝撃粉化を検討し、コークスの粉化速度へのガス化反応モデルの組込みを検討している。

著者らは、コークス塊と CO<sub>2</sub> との反応によるコークスの粒径変化を高炉炉内のソリューション・ロス反応が関与する 1100~1500°C の温度範囲でとらえ、その細粒化のメカニズムをコークスの基礎特性（構造と組織）を因子として表現し、

昭和 57 年 9 月・59 年 10 月本会講演大会にて発表 昭和 62 年 3 月 9 日受付 (Received Mar. 9, 1987)

\* 新日本製鉄(株)製鉄研究センター (Ironmaking Technology Lab., Nippon Steel Corp., 1-1-1 Edamatsu Yahatahigashi-ku Kitakyushu 805)

(1) 温度によるコークスの細粒化機構の変化  
 (2) コークスの基礎特性が細粒化機構に及ぼす影響  
 に重点をおいている。この研究の一環として、すでに反応後強度測定装置(CSR)を使用した、1100°Cでの検討結果を報告<sup>11)</sup>した。今回は、より高温におけるCO<sub>2</sub>反応性測定装置(～1500°C)を使用して、1500°Cまでの温度範囲で実験・解析を行った結果をまとめた。

## 2. 実験方法

### 2.1 実験装置

Fig. 1に示す高温反応性測定装置を使用した。反応後試料の強度測定はCSR用のI型ドラムを使用した。

### 2.2 試料コークス

本研究に用いたコークスは、Table 1に示すようなDI<sub>15</sub><sup>150</sup>:82.3~87.3, CSR:39.2~75.3, JIS反応性:7.0~54.0(AG), 気孔率:28.5~53.6%の性状の8種である。

### 2.3 実験条件

コークス粒度、試料量は、20±1 mm, 200 gである。

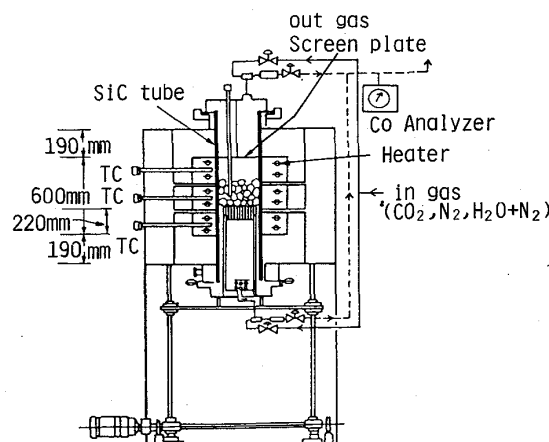


Fig. 1. Apparatus for high-temperature CO<sub>2</sub> reaction.

Table 1. Properties of experimental coke.

Sample	DI <sub>15</sub> <sup>150</sup>	CRI	CSR	JIS reactivity (AG)	MSI (%)	Apparent specific gravity (g/cm <sup>3</sup> )	Porosity (%)
A	85.3	26.8	61.5	25.3	30.9	0.99	48.4
B	84.6	29.3	61.6	28.0	33.1	1.05	44.7
C	83.7	35.1	52.7	54.0	25.1	1.12	41.4
D	83.8	29.9	39.2	33.0	31.1	1.31	31.1
E	87.3	18.6	75.3	9.5	30.4	1.05	46.2
F	82.3	22.7	63.0	7.0	29.3	0.91	53.6
G	87.0	15.0	73.3	14.5	38.8	1.57	28.5
H	84.8	28.4	62.9	32.0	21.3	1.03	46.1

Note: MSI (Micro strength index) CRI (Coke reactivity index)

CSR (Coke strength after reaction)

AG (CO% measured by gas-analyzer)

Table 2. Conditions for the coke gasification.

Heating pattern	Gas composition and volume		
	Temp. (°C)	CO <sub>2</sub> (NL/min)	N <sub>2</sub> (NL/min)
RT ~ 800°C: 10°C/min	RT ~ 1300	0.5	4.5
800~1200°C: 2°C/min	1300~1400	3.75	1.25
1200~1500°C: 7°C/min	1400~1500	1.0	4.0

1) 定温反応は、950~1500°Cの範囲で温度および反応量と反応後強度の関係について検討した。なお、反応量を変化させる場合はCO<sub>2</sub>=5 NL/minで反応時間を変化させた。

また、RI=0の熱処理条件は、所定の温度に到達後、各コークスについてRI=30%時の反応時間と同じ時間その温度で保持した。H<sub>2</sub>O反応に関しては、H<sub>2</sub>O分圧0.5(N<sub>2</sub>分圧0.5)とし、他の条件はCO<sub>2</sub>反応の場合と同様である。

2) 昇温反応のためのヒートパターンおよびガス組成をTable 2に示した。

ヒートパターンには通常高炉装入物の評価試験に用いられている高炉内を想定した条件を採用し、ガス組成は高炉内での各温度区分ごとのソリューション・ロス量が一般的に言われている水準になるように決めた。

### 2.4 実験操作

粒度20±1 mmのコークス200 gをるつぼにいれ、2.3に示した条件でコークスを反応させ、反応後の全重量および粒度分布を測定した。その後、I型ドラムに入れ600回転した後、試料コークスの粒度分布(篩目15, 9.52, 5.3 mm)を測定した。その結果を次の式に代入し、反応量と反応後強度を算出した。

$$\text{反応量(RI)} = \frac{200(\text{g}) - \text{反応後重量}(\text{g})}{200(\text{g})} \times 100(\%)$$

反応後強度(I<sub>15</sub><sup>600</sup>)

$$= \frac{\text{I型ドラム処理後} > 9.52 \text{ mm 重量}(\text{g})}{\text{反応後重量}(\text{g})} \times 100(\%)$$

## 3. 実験結果

### 3.1 高温(～1500°C)におけるコークスのCO<sub>2</sub>反応劣化(定温反応)

Table 1に示したAコークスについてCO<sub>2</sub>との反応状況を見るため、反応時間を20~180 minの間で変化させ、反応量、反応後強度の変化状況を調べた。

1) 反応時間と反応量: Fig. 2に反応時間と各温度別反応量(RI)との関係を示した。塊コークスとCO<sub>2</sub>との反応は反応温度が高くなるとRIが急激に増加する。

2) 反応量と反応後強度: Fig. 3に反応量と反応後強

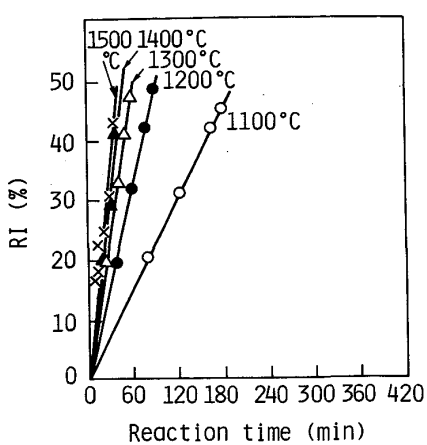


Fig. 2. Relationship between reaction time and weight loss (RI).

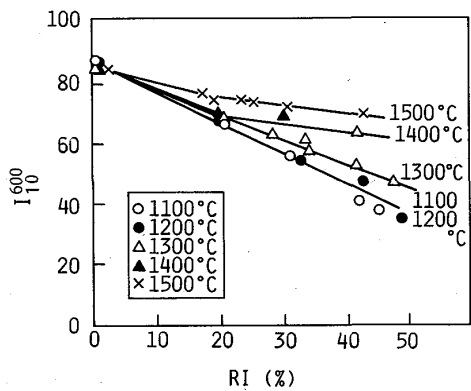


Fig. 3. Relationship between weight loss and strength after reaction.

度 ( $I_{100}^{600}$ ) との関係を反応温度別に示した。反応量が増大するといずれの温度でも強度は低下するが、反応温度が高くなるにしたがつて反応量增加による強度低下は小さくなる傾向にある。

3) 反応温度と反応後強度および粒度 : Fig. 4 に反応温度と反応後強度 ( $I_{100}^{600}$ ) との関係を示した。この図は各反応温度において、RI=0, 20, 30, 40% と一定量反応させてその関係を求めたものである。CO<sub>2</sub> 反応後強度は 1100°C 前後で最も低く、しかも、反応量増加による強度低下幅も大きい。一方、1300°C 以上では高温になるほど、反応後強度は上昇し、しかも、反応量による差異も小さくなる。

Fig. 5 に反応温度と平均粒度との関係を示した。CO<sub>2</sub> 反応後の塊コークスの平均粒度は温度が高くなるほど小さくなるが、I型ドラム処理後の平均粒度は逆に温度が高くなるほど大きくなる。

4) CO<sub>2</sub> 反応と H<sub>2</sub>O 反応との比較 : Fig. 6 に示すよ

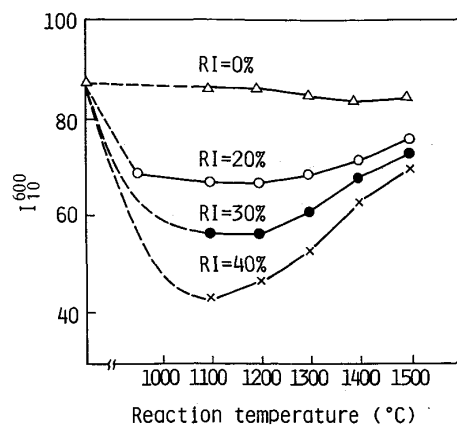


Fig. 4. Relationship between reaction temperature and strength after reaction.

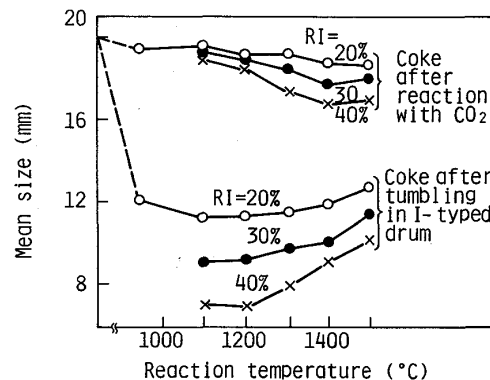


Fig. 5. Relationship between reaction temperature and mean size.

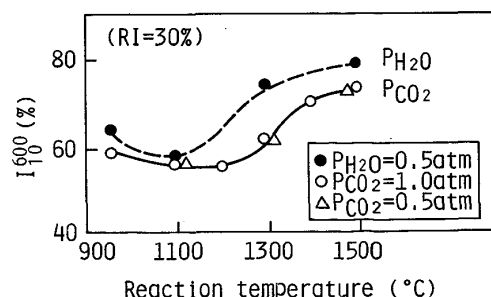


Fig. 6. Comparison of strength of coke after CO<sub>2</sub> and H<sub>2</sub>O reaction.

うに H<sub>2</sub>O 反応後強度も 1100°C 前後に極小値があるが、1100~1500°C の全範囲で H<sub>2</sub>O 反応後強度は CO<sub>2</sub> 反応後強度に比べて高い。Fig. 7 に反応後および I 型 ドラム処理後の +9.52 mm 塊コークスの気孔率と反応 温度との関係を示した。反応温度が高くなるほど反応後 および I 型 ドラム処理後の +9.52 mm 塊コークスの気孔率の増加は少なくなるが、H<sub>2</sub>O 反応と CO<sub>2</sub> 反応とを

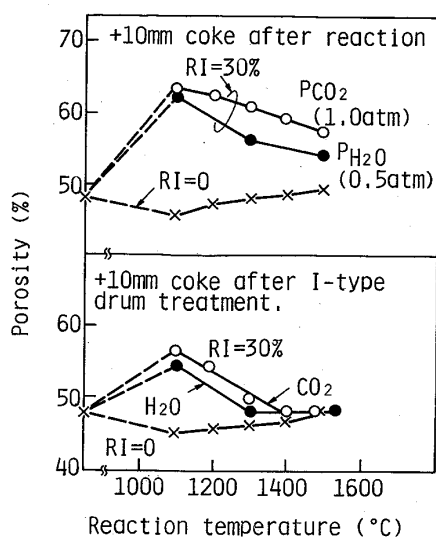


Fig. 7. Comparison of porosity of coke after  $\text{CO}_2$  and  $\text{H}_2\text{O}$  reaction.

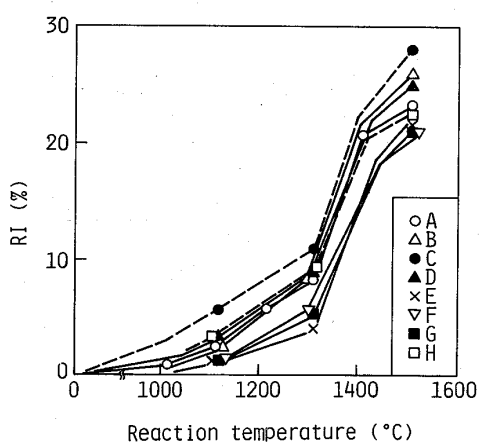


Fig. 8. Gasification of coke on heating.

比べると前者の方が気孔率の増加は少ない。これは、温度が高くなるほど塊表面部のみが反応し、かつ、 $\text{H}_2\text{O}$ 反応は $\text{CO}_2$ 反応に比べてその傾向が顕著であることより、 $\text{H}_2\text{O}$ 反応の方が、 $\text{CO}_2$ 反応に比べて塊内部に反応が進行しにくいことを示している。このため $\text{H}_2\text{O}$ 反応後強度が $\text{CO}_2$ 反応後強度に比べて反応後強度が高くなっている。

以上、反応後強度の面から見ると高炉内でのコークスの反応劣化は $\text{CO}_2$ 反応劣化で評価しておけば間違いないものと考えた。

### 3・2 高炉内条件下によるコークスの $\text{CO}_2$ 反応劣化

Table 1 に示した8種コークスについて昇温反応( $\sim 1500^{\circ}\text{C}$ )を行い反応量、反応後強度の変化状況を調べた。

1) 昇温過程での反応量: Fig. 8 に示すように、

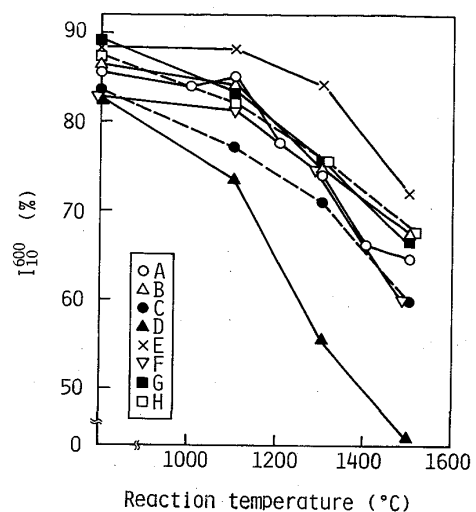


Fig. 9. Relationship between reaction temperature and  $I_{1600}$ .

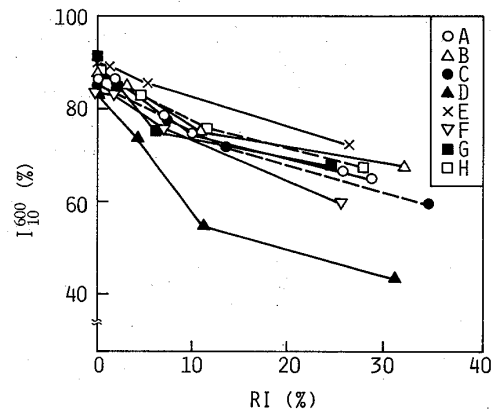


Fig. 10. Relationship between RI and  $I_{1600}$ .

$1100^{\circ}\text{C}$ で2~7%， $1300^{\circ}\text{C}$ で5~13%， $1500^{\circ}\text{C}$ で24~34%であり、反応性の高いコークスはいずれの温度領域でも反応量が多い。

2) 反応量と反応後強度: Fig. 9 に昇温過程での温度と強度との関係、Fig. 10 に反応量と強度との関係を示した。温度が高くなり反応量が増加するにつれて強度は低下するが、同一反応量でもコークスの種類によって強度に差が認められる。

## 4. 考察

### 4・1 コークスの反応形態

コークスの $\text{CO}_2$ との反応に伴う強度低下現象が反応温度によって異なることから塊コークスの反応形態について検討した。

1) 気孔率の変化: Fig. 11 に反応後およびI形ドラム処理後の+9.52 mm コークスの気孔率の関係を示し

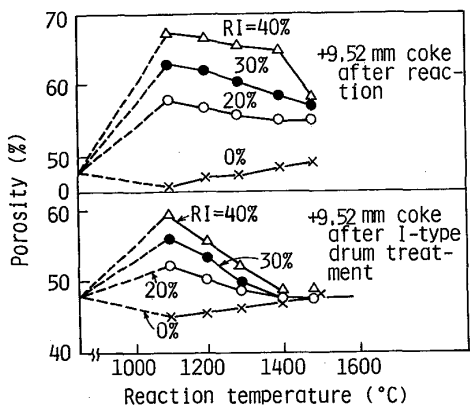


Fig. 11. Relationship between reaction temperature and porosity of coke.

た。RI=0% で熱処理のみのコークスは温度が高くなると気孔率が多少高くなる傾向を示している。

一方、CO<sub>2</sub> 反応を受けたコークスの気孔率は反応量が多いほど高くなるが、反応量を一定にすると反応温度が高いほど気孔率は低くなる。I 形ドラム処理後の +9.52 mm コークスについてみると、1300°C までは熱処理のみのコークスに比べて反応量が多いほど気孔率は高いが、1400°C 以上では RI=20~40% のコークスでも反応の多少にかかわらず熱処理のみのコークスとほぼ同等の気孔率を示している。

以上のことから、温度が高くなるにしたがつて、反応は塊コークス表面に集中し、反応を受けた部分の劣化が進み I 形ドラム処理で摩耗しやすくなる。反面、塊コークス内部は反応温度が高くなるにしたがつてほぼ未反応の状態に保たれるものと判断される。

2) コークス塊の反応モデル：気孔率の変化状態より塊コークスと CO<sub>2</sub> との反応進行過程を Fig. 12 に示すような単粒子反応モデル<sup>11)</sup> で検討した。

その結果の一例を Fig. 13 に示す。この図は RI=30% の場合で、A 部は CO<sub>2</sub> との反応によるガス化のため消滅した部分、B 部は反応後は塊状を保っているが I 形ドラム 600 回転後 -9.52 mm に粉化してしまう部分、C 部は I 形ドラム回転後も塊状を保っている部分である。なお、図中 A, B, C 部の数字は各部のガス化率 (Gi)<sup>11)</sup> を示した。ガス化率は 1100°C では B 部が約 30%，C 部が約 20% であるが、温度が高くなると、特に C 部のガス化率は低くなり、1400°C 以上では 5% 以下となる。また、B 部は I 型ドラム 600 回転で粉化した部分のガス化率を示すものであるが、温度が高くなるほど粉化した部分のガス化率は低くなっている。これはコークスの高温劣化によるものと推定される。

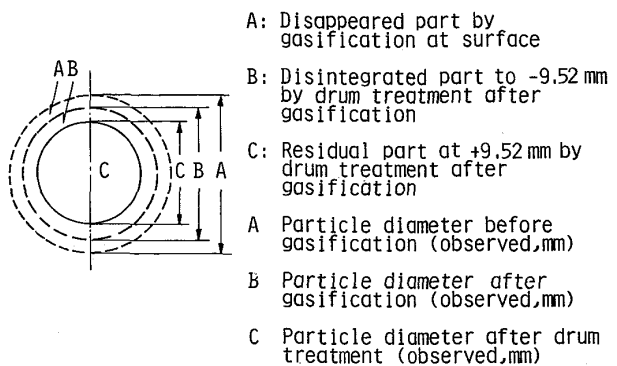


Fig. 12. Reaction model of a single particle coke.

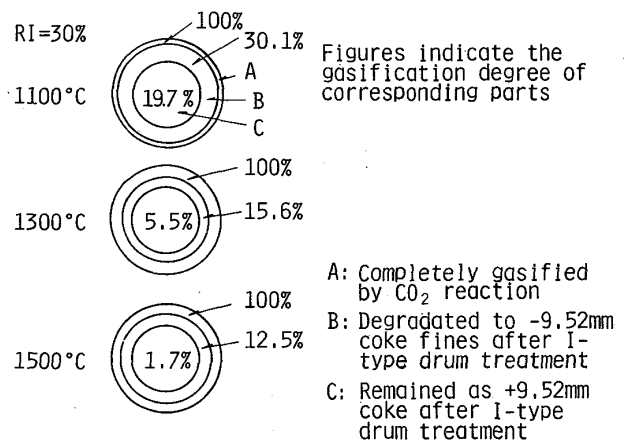


Fig. 13. Reaction model of lump coke with CO<sub>2</sub> gas.

Table 3. Reactivity of each coke texture (%).

Temp (°C)	Weight loss (%)	Isotropic	Fine mosaic	Coarse mosaic	Fibrous	Leaflet	Frag-fusit
1000	24.6	42.2	62.7	0	0	0	33.9
1600	23.8	20.8	32.5	17.6	0	15.3	30.5

以上の解析からも、温度が高くなると塊表面近傍の反応が優勢になり、塊内部では反応の進行が非常に遅くなっていることが証明される。

3) CO<sub>2</sub> との反応に対するコークス組織の選択性<sup>12)~16)</sup>：コークスの光学的異方性組織と CO<sub>2</sub> との反応における温度の影響を 1000°C と 1600°C で比較した。Table 3 は両反応温度ともほぼ同じ反応量（約 24%）を与えたときの各組織別の反応率を示したものである。この結果によると 1000°C では等方性、微粒モザイク組織などが選択性的に反応されるが、1600°C になると 1000°C では反応しにくい粗粒・モザイク、葉片状組織も反応していることがわかる。

4) コークス種類の差による反応形態の差：Table 1

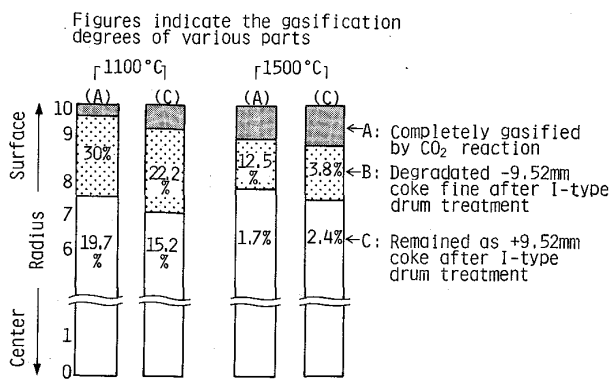


Fig. 14. Difference of reaction state for each coke.

に示す A, C コークスで検討した。Fig. 14 に塊コークスの CO<sub>2</sub> 反応の進行状況を示した。この図から明らかなように 1100°C では試料 C は A に比べて塊表面からの反応が顕著に進行しているとともに、1500°C で比較すると I 形ドラム処理によって -9.52 mm に粉化する B 部のガス化率が試料 A は 12.5% であるのに対し C は 3.8% と極端に低い。

試料 C は A に比べ未反応芯モデル形<sup>17)</sup>の反応進行状況を示すが、熱的劣化の影響も大きい。これは、C コークスは A コークスに比べ気孔壁の反応性は高いが、気孔率が低く CO<sub>2</sub> が塊内部まで侵入しないためおよび気孔壁の強度が低いためと判断される。

以上、述べた 1)~4) の点から CO<sub>2</sub> との反応によるコークスの強度低下は温度別の反応形態によって次のように整理できる。

(1) 1300°Cまでの反応：コークスの異方性組織の選択反応により、反応が塊内部まで進行し、反応量が強度低下に影響する。

(2) 1300~1500°C間での反応：コークス塊は表面から均一に反応し、反応部はガス化消滅するとともに、コークス塊内部は未反応状態を保つ。さらに高温処理されることによってマイクロストレンジングが向上し、気孔率が低下するため反応量が直接強度低下に影響しない。

#### 4・2 コークスの反応劣化におよぼす反応履歴の影響

1500°Cまでの昇温過程で測定された反応に伴うコークスの強度低下から、各温度領域 (RT~1100, 1100~1300, 1300~1500°C) での反応後強度の低下幅 [ΔI, 例  $\Delta I = I_{10}^{600}(RT) - I_{10}^{600}(1100)$ ] と反応量 [ $\Delta RI$ , 例  $\Delta RI = RI(1100) - RI(RT)$ ] との関係を求め Fig. 15 に示した。各温度領域での反応後強度の低下幅は RT~1100°C および 1100~1300°C 間の反応では反応量が多いほど大きくなっている。一方、1300~1500°C 間の反

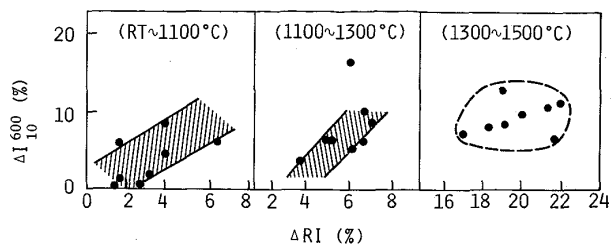


Fig. 15. Relationship between RI and  $\Delta I_{10}^{600}$ .

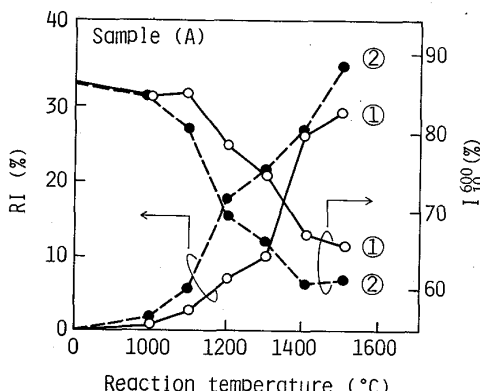


Fig. 16. Change of  $I_{10}^{600}$  for two different gasification by CO<sub>2</sub> in the heating up conditions.

応では、 $\Delta I$  と  $\Delta RI$  との間には一定の関係が認められない。

これまで述べた点からコークスの CO<sub>2</sub> との反応に伴う強度低下は 1300°C 近辺の温度域を境にして差異のあることが明らかになつた。そこでコークスの反応劣化におよぼす反応履歴の影響をみるため、Table 1 の試料 A を用いて実験を行い Fig. 16 に示すような結果を得た。Fig. 16 の①は Table 2 の条件で、②はヒートパターンは Table 2 の条件で、雰囲気条件は RT~1500°C まで CO<sub>2</sub>=1.5 Nl/min, N<sub>2</sub>=3.5 Nl/min で得られた結果である。

この結果から、昇温過程における反応で、1400°C までの累計反応量は同じでも、1300°C までの反応量が多いほど 1400°C での反応後強度は低くなる。その後さらに 1400~1500°C 間の反応量を変化させても強度の変化はわずかであり、二つのケースの強度差は 1300°C 付近までの反応によって生じた強度低下をそのまま維持している。

君津 3 高炉での CSR 評価試験時<sup>18)</sup>に炉腹部サンプラーを使用し炉内コークスを採取、コークスの粒度分布と +15 mm コークスを使用して炉内温度推定を行つた。Fig. 17 に炉腹部コークス (+15 mm) の推定温度と -3 mm 粉コークス含有量との関係を示した。推定温度が低

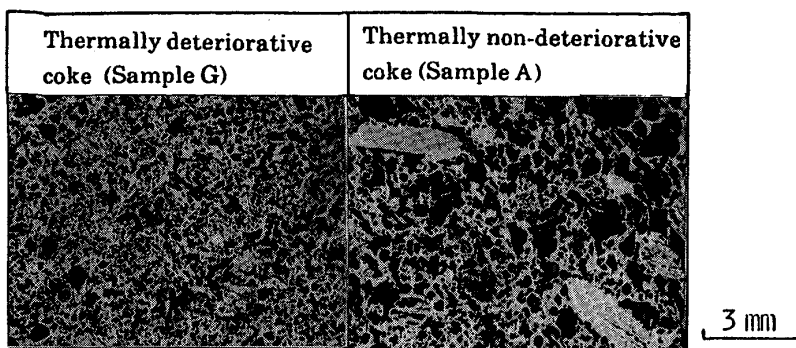


Photo. 1. Relationship between thermal deterioration and coke structure before treatment.

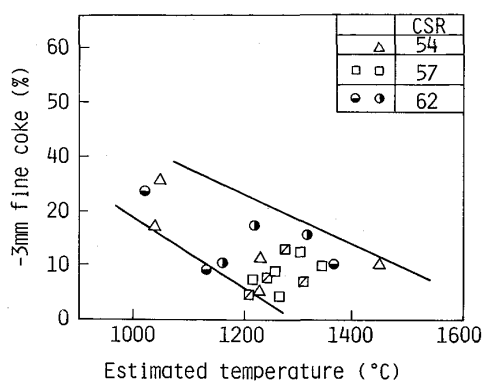


Fig. 17. Relationship between estimated temperature and -3 mm fine coke content.

いものほど粉コークス量が多くなる傾向がみられる。

これらの結果より、昇温反応条件下のコークスの劣化は 1300°C 以下の反応履歴に大きく影響されることが明らかであり、高炉内におけるコークスの CO<sub>2</sub> との反応劣化は、1300°C 近辺までのソリューション・ロス量を少なくすることによって抑制できる可能性がある。

#### 4・3 コークス品質と CO<sub>2</sub> 反応後強度との関係

Fig. 3 に Table 1 の試料 A を用いて求めた反応温度別の反応量 (RI) と反応後強度 ( $I_{10}^{600}$ ) の関係を示した。いずれの温度でも強度と反応量は、 $I_{10}^{600} = b - a \cdot RI$  の関係がある。また、温度と  $a$ ,  $b$  の係数との関係を調べてみると温度が高くなると  $a$ ,  $b$  の係数とも小さくなる傾向が認められる。ここで、 $a$  を反応劣化指数  $b$  を熱的劣化指数と定義した。 $a$  が小さいほど反応劣化の小さいコークスであるが、(1) 1100°C では、JIS 反応性が低いほど  $a$  は小さい。(2) 1300°C 以上になると、JIS 反応性および気孔率が高いほど  $a$  が小さい。これは、高温になると反応形態が境膜拡散律速へと変わるため気孔壁の反応性が高いものほど表面反応が強く進行し塊内部はほぼ未反応状態に保たれるためと推定される。 $b$  が大きいほど熱的劣化の小さいコークスであるが、 $b$  は

1100~1500°C の範囲では JIS 反応性と MSI が低く、気孔率が高いほど大きい。しかし、温度が上昇しても  $b$  が低下しないコークスもある。Photo. 1 に熱的に劣化するコークスと、しないコークスの顕微鏡下での構造を示した。熱的に劣化しないものは、するものに比べて、コークスのミクロ構造が均一であることがわかる。

#### 4・4 ~1500°C までの高温における熱間性状の優れたコークスについて

高炉内でコークスがソリューション・ロス反応をうける 1500°C までの範囲での熱間性状について検討した。反応劣化は気孔壁の反応性が大きく影響し、低温 (1100°C) では反応性が低いものほど反応劣化は小さいが、高温 (1300, 1500°C) では反応性が高いものほど反応劣化は小さい。これは温度によってコークスと CO<sub>2</sub> との反応形態が変わるために、化学反応律速領域では反応性の低いものが反応劣化は小さいが、気孔内拡散および境膜拡散律速では反応性の高いものほど塊表面からの反応が著しく進行し塊内部の反応を遅らせるため、反応劣化は小さくなるものと判断される。熱的劣化は反応性の低いものほど小さいが、同一のコークス品質でもコークスのミクロ構造の均一なものほど熱的劣化は小さい。熱間性状の優れたコークスとは CO<sub>2</sub> 反応劣化および熱的劣化の小さいものであるが、ミクロ構造が均一で、構造物として一定の強度を有し、気孔壁の性質としては反応しやすいコークスであると考えられる。

### 5. 結 言

高炉高温部におけるコークスの挙動に対して重要な役割を持つている CO<sub>2</sub> によるコークスの反応劣化について検討し、次のような結果を得た。

1) コークスの CO<sub>2</sub> との反応による劣化は、CO<sub>2</sub> と反応するときの温度によって大きく異なる。

2) 1300°C までの反応：コークスの異方性組織の選択反応性によって、反応がコークス塊内部まで進行し、そのため、反応量がコークス強度低下に影響を及ぼす。

3) 1300°Cから1500°Cまでの反応: コークス塊は、表面から均一に反応、塊内部はあまり反応しない状態に保たれるため、反応量がコークス強度低下に影響しない。

4) 反応によるコークスの強度低下に対しては1300°C付近までの反応が支配的である。

5) コークスのCO<sub>2</sub>による反応劣化は1300°C以下のCO<sub>2</sub>との反応量に依存するため、この温度領域における反応量を減らすことができれば、これが高炉内のコークスの劣化抑制の手段となりうる。

6) 熱間性状の優れたコークスとしてはミクロ構造が均一で、一定の構造強度を有し、気孔壁の反応性が高いものが望ましい。

### 文 献

- 1) 藤田英夫, 聖山光政, 西田清二: コークス・サーキュラー, **29** (1980), p. 218
- 2) 藤田英夫, 聖山光政, 西田清二: 燃料協会誌, **61** (1982), p. 109
- 3) 木庭敬一郎, 坂田康二, 井田四郎: コークス・サーキュラー, **28** (1979), p. 311
- 4) 原行明, 土屋勝: 鉄と鋼, **66** (1980), p. 1810
- 5) 羽田野道春, 宮崎富夫, 岩永祐治: 鉄と鋼, **65** (1979), p. 1365
- 6) 張東植, 館充: 鉄と鋼, **65** (1979), p. 488
- 7) P. ARENDT, W. ROHDE and R. WARTMANN: Proc. Ironmaking Conf., **44** (1985), p. 207
- 8) 重野芳人, 洪明在, 小林三郎, 大森康男: 鉄と鋼, **70** (1986), S 43
- 9) 上条綱雄, 北村雅司, 岩切治久, 中村力: 鉄と鋼, **72** (1986), S 44
- 10) 岩永祐治, 高谷幸司: 鉄と鋼, **72** (1986), S 909
- 11) 西徹, 原口博, 美浦義明: 鉄と鋼, **70** (1984), p. 43
- 12) 杉村秀彦, 熊谷光昭, 木村秀雄: 燃料協会誌, **49** (1970), p. 744
- 13) 杉村秀彦, 熊谷光昭, 木村秀雄, 本田英昌: 燃料協会誌, **48** (1969), p. 920
- 14) J. W. PATRICK, M. J. RAYNOLDS and F. H. SHAW: Fuel, **52** (1973), p. 198
- 15) 小嶋鴻次郎, 西徹, 山口徳二, 仲摩博至, 井田四郎: 鉄と鋼, **62** (1976), p. 570
- 16) 宮川亜夫, 嶋峨三男, 谷原秀太郎: 燃料協会誌, **56** (1977), p. 337
- 17) 井本立也: 化学工学 (1969), p. 23 [日刊工業社]
- 18) Y. ISHIKAWA, M. KASE, Y. ABE, K. ONO, M. SUGATA and T. NISHI: AIME, Ironmaking Proceedings, **42** (1983), p. 357